

ПРОГНОЗ РАЗРУШЕНИЯ ГОРНЫХ ПОРОД  
НА ОСНОВЕ ОСОБЕННОСТЕЙ  
СПЕКТРАЛЬНО-ВРЕМЕННЫХ ХАРАКТЕРИСТИК СИГНАЛОВ  
ЭЛЕКТРОМАГНИТНОГО ИЗЛУЧЕНИЯ \*

Г. И. Кулаков, Г. Е. Яковицкая

Институт горного дела СО РАН,  
630091 Новосибирск

В Институте горного дела СО РАН исследовались трещинообразование и разрушение горных пород при их нагружении на основе регистрации сигналов электромагнитного излучения (ЭМИ), а также изучались его спектрально-временные характеристики [1, 2]. При этом использовались результаты работ [3, 4], где для характеристики процесса разрушения введено понятие концентрационного критерия, а сам процесс рассматривался как состоящий из нескольких стадий. В [1] было показано, что некоррелированное накопление трещин соответствует I стадии разрушения (накопление микротрещин), формирование зоны магистральной трещины — II стадии (макроразрушение), а разделение горной породы на части — III стадии (постразрушение).

Данная работа является продолжением [5], где достаточно подробно описаны эксперимент по нагружению образцов горных пород, его методика и полученные результаты, представленные в виде спектрально-временных матриц ЭМИ-сигналов. Ниже рассматриваются прогнозные характеристики разрушения, полученные на основе анализа спектральных характеристик сигналов ЭМИ, зарегистрированных в результате эксперимента на различных этапах нагружения, соответствующих II и III стадии процесса разрушения.

В таблице приведены результаты эксперимента для образца мелкозернистого сиенита (Таштагольское месторождение), стрелка слева означает направление роста времени от начала нагружения и соответственно самой нагрузки, стрелка над таблицей показывает рост спектральных частот, а выделенные жирным шрифтом цифры в каждой строке спектрально-временной матрицы наряду со стрелками по полю таблицы демонстрируют изменение максимальных спектральных амплитуд  $A$  по мере роста нагрузки на II и III стадии процесса разрушения. Результаты анализа таких таблиц (спектрально-временных матриц) были представлены в [6, 7].

Далее рассматриваются максимальная спектральная амплитуда  $A$ , соответствующая ей спектральная частота  $f$ , приращение максимальной спектральной амплитуды  $\Delta A$  в зависимости от времени  $t$  (рис. 1) и производные  $\Delta A/\Delta t$ ,  $\Delta A/\Delta f$  в зависимости от времени  $t$  (рис. 2) и частоты  $f$  (рис. 3) (здесь и ниже используются приведенные обозначения производных).

Из рис. 1 видно, что  $A$  и  $f$  достигают максимальных значений в один и тот же момент времени, в данном случае при  $t \approx 22$  мс (см. таблицу), причем участки кривых слева от этих максимумов соответствуют II стадии разрушения, а справа — III стадии. С ростом времени нагружения приращение максимальных спектральных амплитуд  $A$  уменьшается и достигает

\*Работа выполнена при финансовой поддержке Российского фонда фундаментальных исследований (код проекта 93-05-8642).

	$f, \text{ кГц}$																			
	0,25	0,29	0,33	0,38	0,43	0,50	0,57	0,65	0,74	0,85	0,98	1,12	1,28	1,47	1,68	1,92	2,20	2,52		
15,87				714	740	764	721	688												
16,03				718	747	761	732	702												
16,19				723	753	769	742	716												
16,37				727	760	775	752	729												
16,51				732	766	782	761	742												
16,64				736	772	789	771	754												
16,83				740	778	795	700	766												
16,98				744	784	801	789	778												
17,14				748	789	807	797	789												
17,30				751	795	815	806	808												
17,46				755	800	819	814	810												
17,61				759	805	824	821	820												
17,78				762	803	830	829	830	816	763										
17,94						835	836	839	822	779										
18,10						840	843	848	834	796										
18,25						844	849	856	846	811										
18,41						849	856	864	857	826										
18,57						853	862	872	867	841										
18,73						857	868	879	877	854										
18,80						861	873	886	886	868	839									
19,05						865	878	892	895	880	855									
19,19							883	899	904	892	878									
19,37							888	904	912	903	885									
19,53							892	910	920	914	890									
19,68							896	915	927	924	911									
19,83							900	920	933	933	909									
20,00								924	939	942	933	922								
20,15								928	945	950	949	934								
20,32								932	950	957	953	945								
20,49								935	955	964	961	955								
20,63								938	959	970	969	964								
20,78								941	963	976	975	972								
20,95								943	966	981	981	978	972							
21,11									969	985	986	984	979							
21,27									972	989	991	988	985							
21,43									974	992	994	992	989							
21,59									975	994	997	994	992							
21,75									976	996	998	996	993	998	993	980				
21,90										999	997	993	1000	995	982					
22,06									977	998	999	995	991	999	995	982				
22,22									977	998	999	993	989							
22,38									976	987	987	991	984							
22,54									946	987	996	995	987							
22,70									944	973	994	991	982							
22,86									942	972	991	987	976							
23,01									940	968	988	983	968							
23,17									934	965	985	977	960							
25,08									869	877	892	893	846	771						
25,24									865	870	892	882	838							
25,48									859	862	874	870	813							
25,56									853	854	864	857	796							
25,71									847	846	853	844	778							
25,87									826	836	840	837	842	831	759					
26,03									822	831	833	828	830							
26,19									772	818	826	826	819	818						
26,35									769	814	820	810	800							
26,51									766	809	814	811	799							
26,67									763	805	808	803	789							
26,83									759	800	801	794	778							
26,98									711	756	799	799	786	767						
27,13									700	753	798	790	777							
27,30									700	749	786	781	768							

III

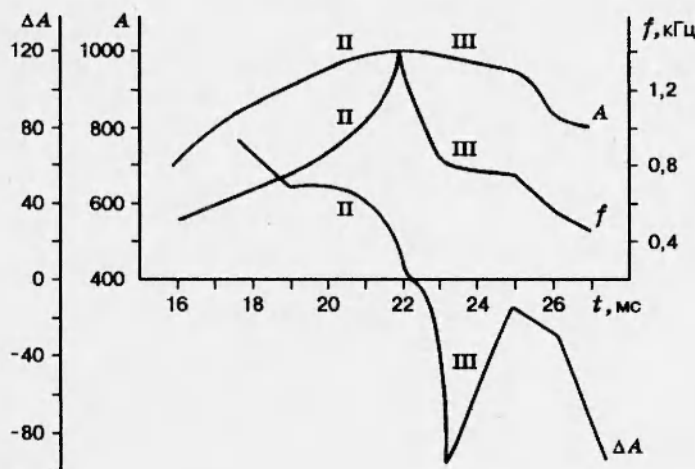


Рис. 1

нулевого значения, пересекая ось абсцисс в момент времени  $t \geq 22$  мс. Отметим, что графики рис. 1 до момента времени  $t \geq 22$  мс включительно соответствуют сигналу ЭМИ, полученному в результате собственно разрушения горной породы. Дальнейшее продолжение графика (III стадия разрушения) наряду с полезным сигналом содержит существенные экспериментальные помехи и в настоящем анализе не учитывается. Приближение значений функций  $A$  и  $f$  к максимальным и одновременно переход  $\Delta A$  через нуль могут служить прогнозными признаками для определения наступления момента разделения нагруженной горной породы на части.

Рассмотрим особенности производных максимальной спектральной амплитуды по времени и по частоте.

На рис. 2 приведены графики производной  $\Delta A/\Delta t$  и ее модуля  $|\Delta A/\Delta t|$ , а также производной  $\Delta A/\Delta f$  по спектральной частоте  $f$  в зависимости от времени  $t$ . Графики  $|\Delta A/\Delta t|$  и  $\Delta A/\Delta f$  имеют экстремум (ми-

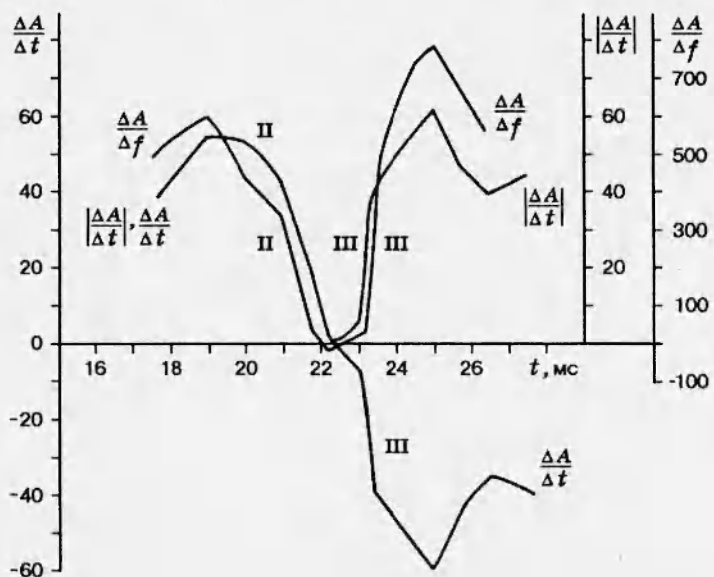


Рис. 2

нимум) вблизи момента времени  $t \geq 22$  мс, а график  $\Delta A/\Delta t$  вблизи этой же точки проходит через нуль. Указанные особенности данных величин рекомендуется использовать в качестве прогнозного признака наступления момента времени, соответствующего разрушению горной породы.

На рис. 3 представлены графики спектральной амплитуды  $A$  и ее производных  $\Delta A/\Delta t$  и  $\Delta A/\Delta f$  в зависимости от спектральной частоты  $f$ . Здесь все величины являются функциями двух переменных  $t$  и  $f$  и их графики различны. Из рис. 3 следует, что на II стадии процесса разрушения амплитуда  $A$  постепенно возрастает по мере увеличения  $f$ , а после достижения нагрузкой критического значения, отвечающего появлению наибольшей максимальной спектральной амплитуды и соответствующей ей частоты ( $f = 1,47$  кГц), ее график поворачивает в обратную сторону и движется в направлении уменьшения  $A$ , на II стадии параметры  $A$  и  $f$  увеличиваются, а на III — уменьшаются.

Такой переход от одновременного увеличения к одновременному уменьшению обоих параметров в [8] предложено считать началом разделения нагруженной горной породы на части. Из рис. 3 видно, что графики  $\Delta A/\Delta t$  и  $\Delta A/\Delta f$  как функции от  $f$  на II стадии процесса разрушения уменьшаются, достигая своих минимальных значений на частоте  $f = 1,47$  кГц, а затем, увеличиваясь по модулю, переходят в более низкочастотную область (III стадия). Все три рассматриваемые функции имеют одну общую особенность, которая заключается в том, что после достижения максимальной частоты все функции переходят вновь в более низкочастотную область. Следовательно, переход из высокочастотной (II стадия) области в более низкочастотную (III стадия) может служить прогнозной характеристикой перехода горной породы к стадии разделения ее на части.

Таким образом, особенности спектрального состава сигналов ЭМИ и поведение рассматриваемых функций позволяют рекомендовать ряд спо-

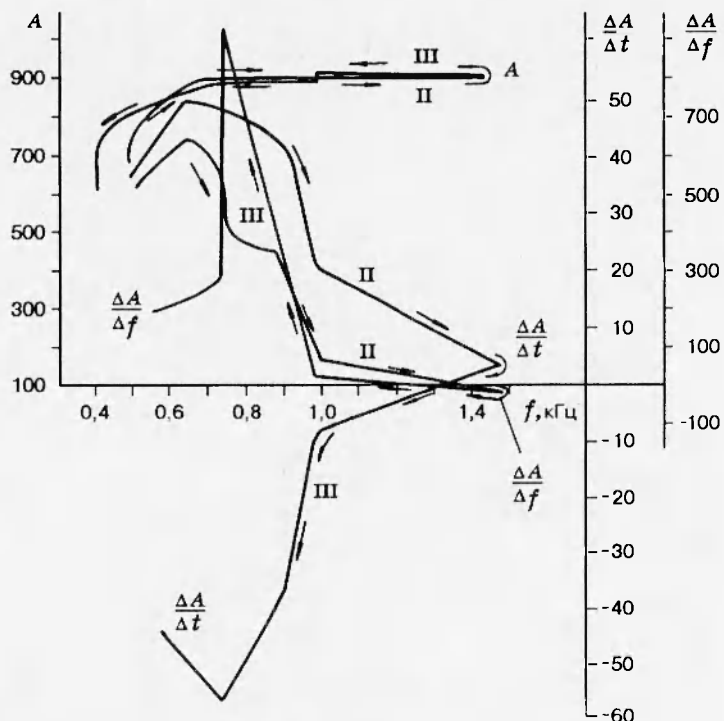


Рис. 3

солов прогноза разрушения горных пород:

— одновременное увеличение максимальной спектральной амплитуды  $A$  и соответствующей ей частоты  $f$  по мере роста нагрузки и последующее их уменьшение свидетельствуют о приближении момента разделения сплошности горной породы;

— переход через нуль величины  $\Delta A$  по мере роста нагрузки (и соответственно времени  $t$ ) также может служить прогнозным признаком приближения момента разрушения;

— одновременное уменьшение скорости изменения (производной) максимальной спектральной амплитуды и ее модуля по времени в процессе роста нагрузки и производной максимальной спектральной амплитуды по частоте в зависимости от времени до значений, близких к нулю, а также последующее их возрастание по модулю служат прогнозной характеристикой приближения момента нарушения сплошности горной породы;

— уменьшение производных максимальной спектральной амплитуды по времени и частоте в зависимости от изменения спектральной частоты до минимального значения на максимальной для обеих величин частоте и последующий их рост по модулю свидетельствуют о начале процесса разделения сплошности горной породы.

#### ЛИТЕРАТУРА

1. Курленя М. В., Яковицкая Г. Е., Кулаков Г. И. Стадийность процесса разрушения на основе исследования ЭМИ-излучения // Физ.-техн. пробл. разработки полезн. ископаемых. 1991. № 1. С. 44–49.
2. Курленя М. В., Кулаков Г. И., Яковицкая Г. Е. Спектрально-временной анализ электромагнитной эмиссии при трещинообразовании горных пород // Физ.-техн. пробл. разработки полезн. ископаемых. 1993. № 1. С. 3–13.
3. Журков С. Н., Куксенко В. С., Петров В. А. Физические основы прогнозирования механического разрушения // Докл. АН СССР. 1981. Т. 259, № 6. С. 1350–1353.
4. Журков С. Н., Куксенко В. С., Петров В. А. и др. О прогнозировании разрушения горных пород // Изв. АН СССР. Физика Земли. 1977. № 6. С. 11–18.
5. Кулаков Г. И., Яковицкая Г. Е. Особенности изменения спектра частот электромагнитного излучения при разрушении образцов горных пород // ПМТФ. 1994. Т. 35, № 5. С. 160–165.
6. А. с. 1562449 СССР. Способ прогноза разрушения массива горных пород / М. В. Курленя, В. Н. Опарин, Г. Е. Яковицкая // Открытия. Изобрет. 1990. № 17.
7. А. с. 1740665 СССР. Способ прогноза разрушения горных пород / М. В. Курленя, Г. И. Кулаков, В. Н. Опарин, Г. Е. Яковицкая // Открытия. Изобрет. 1992. № 22.
8. А. с. 1800026 СССР. Способ контроля состояния массива горных пород / М. В. Курленя, Г. И. Кулаков, В. Н. Опарин, Г. Е. Яковицкая // Открытия. Изобрет. 1993. № 9.

*Поступила в редакцию 29/VIII 1994 г.,  
в окончательном варианте — 13/XII 1994 г.*